



# ЧИСЛЕННОЕ МОДЕЛИРОВАНИЕ ЭВОЛЮЦИИ ГРАНИЦЫ РАЗДЕЛА НЕСЖИМАЕМЫХ ГАЗА И ЖИДКОСТИ В ДВУМЕРНОЙ ОБЛАСТИ<sup>1</sup>

*А. С. Топольников*

Институт механики УНЦ РАН, Уфа

**Аннотация.** Работа посвящена численному моделированию уравнений Навье–Стокса для несжимаемой среды в случае, когда внутри прямоугольной расчетной области имеются газ и жидкость, разделенные межфазной границей. Система уравнений для несжимаемой жидкости с учетом вязких, гравитационных и поверхностных (капиллярных) сил решается с помощью конечно-разностной схемы на разнесенной пространственной сетке, для описания поверхности раздела используется идеология Level Set Method. С помощью разработанного вычислительного кода численно исследован ряд гидродинамических задач, описывающих движение двухфазной несжимаемой среды с границей раздела. В результате численных расчетов получены результаты, которые обнаруживают удовлетворительное согласование с существующими аналитическими и экспериментальными решениями.

**Ключевые слова:** численное моделирование, конечно-разностная схема, несжимаемая жидкость, граница раздела, поверхностное натяжение, Level Set Method

---

## 1 Введение

Разработанный в конце 80-х — начале 90-х годов XX века Level Set Method [1, 2] — метод для отслеживания границ раздела, сегодня является едва ли не самым мощным вычислительным аппаратом и имеет множество приложений в теории горения, кристаллографии, гидро- и электродинамике,

---

<sup>1</sup> Работа выполнена при финансовой поддержке Российского фонда фундаментальных исследований (проект № 02-01-97926) и Фонда содействия отечественной науке

компьютерной визуализации, а также других научных и близких к ним областях. Принципиальным его моментом является представление границы раздела  $\Gamma$  между двумя пространственными областями как поверхности нулевого уровня для функции  $\phi$ , введенной на множестве  $\Omega \times \mathcal{R}(t)$ , где  $\Omega \subset \mathcal{R}^2(x, t)$ :

$$\phi(x(t), y(t), t) = 0. \quad (1)$$

В этом случае положение границы в любой фиксированный момент времени  $T$  может быть найдено неявно, как множество точек плоскости  $\{(x, y) : \phi(x, y, T) = 0\}$ , из решения уравнения (1) после дифференцирования по времени:

$$\frac{\partial \phi}{\partial t} + \frac{\partial \phi}{\partial x} x'(t) + \frac{\partial \phi}{\partial y} y'(t) = 0. \quad (2)$$

Применительно к гидродинамике моделирование поверхности раздела с помощью введенной таким образом функции  $\phi$ , которая в этом случае может рассматриваться как функция расстояния до границы, позволяет избежать многих вычислительных трудностей, типичных для традиционных методов (лагранжевы методы, VOF): большая деформация границы, изменение топологии задачи, вычисление нормали и кривизны в данной точке поверхности раздела.

На основе идеологии Level Set Method проводится численное моделирование задач, описывающих движение несжимаемой жидкости или газа в присутствии границы раздела. Система уравнений Навье–Стокса решается в двумерной постановке с учетом вязких, гравитационных и поверхностных (капиллярных) сил с помощью численной схемы первого порядка точности по времени и второго по пространству [3, 4]. Граница раздела, на которой терпят разрыв плотность и вязкость, моделируется сеточной функцией  $\phi$ , определяемой из решения уравнения (2) с учетом известной скорости среды  $\vec{U} = (x'(t), y'(t))$ .

## 2 Уравнения движения вязкой тяжелой несжимаемой жидкости в плоском канале

Движение несжимаемой вязкой жидкости определяется решением уравнений неразрывности и Навье–Стокса, которые в общем случае (многомерная область и переменная вязкость) могут быть записаны в виде:

$$\nabla \cdot \vec{U} = 0, \quad (3)$$

$$\frac{\partial \vec{U}}{\partial t} + (\vec{U} \cdot \nabla) \vec{U} + \frac{\nabla p}{\rho} = \frac{\nabla \cdot (\mu(\nabla \vec{U} + \nabla \vec{U}^T))}{\rho} + \vec{g}, \quad (4)$$

где  $\vec{U}$  — вектор скорости;  $p$  — давление;  $\rho$  — плотность жидкости;  $\vec{g}$  — вектор ускорения свободного падения; символ  $T$  обозначает оператор транспонирования.

Для плоской области в декартовой системе координат с силой тяжести, направленной вдоль оси  $Oy$ , уравнения (3), (4) переписутся следующим образом:

$$\frac{\partial u}{\partial x} + \frac{\partial v}{\partial y} = 0, \quad (5)$$

$$\frac{\partial u}{\partial t} + u \frac{\partial u}{\partial x} + v \frac{\partial u}{\partial y} + \frac{1}{\rho} \frac{\partial p}{\partial x} = \frac{1}{\rho} \left( \frac{\partial}{\partial x} \left( 2\mu \frac{\partial u}{\partial x} \right) + \frac{\partial}{\partial y} \left( \mu \frac{\partial u}{\partial y} + \mu \frac{\partial v}{\partial x} \right) \right), \quad (6)$$

$$\frac{\partial v}{\partial t} + u \frac{\partial v}{\partial x} + v \frac{\partial v}{\partial y} + \frac{1}{\rho} \frac{\partial p}{\partial y} = \frac{1}{\rho} \left( \frac{\partial}{\partial x} \left( \mu \frac{\partial u}{\partial y} + \mu \frac{\partial v}{\partial x} \right) + \frac{\partial}{\partial y} \left( 2\mu \frac{\partial v}{\partial y} \right) \right) - g. \quad (7)$$

Здесь  $u(x, y, t)$  и  $v(x, y, t)$  — горизонтальная и вертикальная составляющие скорости.

Будем считать, что внутри плоского канала имеются две несжимаемые среды с различными значениями плотности и вязкости, которые в дальнейшем для удобства условимся называть газом и жидкостью. Положение границы их раздела  $\Gamma$ , на которой непрерывны скорость и давление, в любой момент времени зададим нулевым уровнем сеточной функции  $\phi(x, y, t)$ :

$$\Gamma = \{(x, y) \in \Omega \mid \phi(x, y, t) = 0\}, \quad (8)$$

где  $\Omega = \{x_1 \leq x \leq x_2, y_1 \leq y \leq y_2\}$ .

Тогда в остальных точках области  $\Omega$  нахождение там газа или жидкости будет определяться знаком функции  $\phi(x, y, t)$ :

$$\phi(x, y, t) \begin{cases} > 0, & (x, y) \in l \\ = 0, & (x, y) \in \Gamma \\ < 0, & (x, y) \in g. \end{cases} \quad (9)$$

Здесь и далее символами  $l$  и  $g$  обозначены параметры жидкости и газа соответственно.

С учетом известного значения  $\phi(x, y, t)$  плотность и вязкость в данной точке рассматриваемой области выражаются формулами:

$$\rho(\phi) = \rho_l H(\phi) + \rho_g(1 - H(\phi)), \quad \mu(\phi) = \mu_l H(\phi) + \mu_g(1 - H(\phi)), \quad (10)$$

где функция Хевисайда  $H$  равна:

$$H(x, y) = \begin{cases} 1, & (x, y) \in l \\ 1/2, & (x, y) \in \Gamma \\ 0, & (x, y) \in g. \end{cases} \quad (11)$$

Наконец, эволюция самой границы раздела  $\Gamma$  будет определяться из решения уравнения Гамильтона–Якоби по известному значению скорости:

$$\frac{\partial \phi}{\partial t} + \vec{U} \cdot \nabla \phi = 0,$$

или в двумерном случае:

$$\frac{\partial \phi}{\partial t} + u \frac{\partial \phi}{\partial x} + v \frac{\partial \phi}{\partial y} = 0. \quad (12)$$

### 3 Поверхностное натяжение

Для того, чтобы учесть поверхностное натяжение, действующее на границе между газом и жидкостью, модифицируем уравнение (4), записав его в виде [5, 6]:

$$\frac{\partial \vec{U}}{\partial t} + (\vec{U} \cdot \nabla) \vec{U} + \frac{\nabla p}{\rho} = \frac{\nabla \cdot (\mu(\nabla \vec{U} + \nabla \vec{U}^T))}{\rho} - \frac{\sigma \kappa \delta \nabla \phi}{\rho} + \vec{g}. \quad (13)$$

Здесь  $\sigma$  — коэффициент поверхностного натяжения;  $\kappa = \nabla \cdot \vec{n}$  — кривизна поверхности с нормалью  $\vec{n}$ , направленной в сторону жидкости;  $\delta = \delta(\phi)$  — функция Дирака, которая вводится для того, чтобы обеспечить локальное (при  $\phi = 0$ ) действие силы поверхностного натяжения:

$$\left( \mu_l (\nabla \vec{u}_l + \nabla \vec{u}_l^T) - \mu_g (\nabla \vec{u}_g + \nabla \vec{u}_g^T) \right) \vec{n} = (p_l - p_g + \sigma \kappa) \vec{n}, \quad (x, y) \in \Gamma.$$

Для двумерной пространственной области уравнение (13) с учетом равенства  $\delta \nabla \phi = \nabla H$  переписется в виде:

$$\begin{aligned} & \frac{\partial u}{\partial t} + u \frac{\partial u}{\partial x} + v \frac{\partial u}{\partial y} + \frac{1}{\rho} \frac{\partial p}{\partial x} = \\ & = \frac{1}{\rho} \left( \frac{\partial}{\partial x} \left( 2\mu \frac{\partial u}{\partial x} \right) + \frac{\partial}{\partial y} \left( \mu \frac{\partial u}{\partial y} + \mu \frac{\partial v}{\partial x} \right) \right) - \frac{\sigma \kappa}{\rho} \frac{\partial H}{\partial x}, \end{aligned} \quad (14)$$

$$\begin{aligned} & \frac{\partial v}{\partial t} + u \frac{\partial v}{\partial x} + v \frac{\partial v}{\partial y} + \frac{1}{\rho} \frac{\partial p}{\partial y} = \\ & = \frac{1}{\rho} \left( \frac{\partial}{\partial x} \left( \mu \frac{\partial u}{\partial y} + \mu \frac{\partial v}{\partial x} \right) + \frac{\partial}{\partial y} \left( 2\mu \frac{\partial v}{\partial y} \right) \right) - \frac{\sigma \kappa}{\rho} \frac{\partial H}{\partial y} - g, \end{aligned} \quad (15)$$

где  $\kappa$  определяется формулой

$$\kappa = \nabla \cdot \left( \frac{\nabla \phi}{|\nabla \phi|} \right) = \frac{\phi_{xx}\phi_y^2 - 2\phi_{xy}\phi_x\phi_y + \phi_{yy}\phi_x^2}{(\phi_x^2 + \phi_y^2)^{3/2}},$$

а  $H$  задается равенством (11).

#### 4 Конечно-разностная схема

При численной реализации дифференциальных уравнений (5), (10), (12), (14), (15) используется их безразмерная форма:

$$\frac{\partial \tilde{u}}{\partial \tilde{t}} + \frac{\partial \tilde{v}}{\partial \tilde{y}} = 0, \quad (16)$$

$$\begin{aligned} & \frac{\partial \tilde{u}}{\partial \tilde{t}} + \tilde{u} \frac{\partial \tilde{u}}{\partial \tilde{x}} + \tilde{v} \frac{\partial \tilde{u}}{\partial \tilde{y}} + \frac{1}{\tilde{\rho}} \frac{\partial \tilde{p}}{\partial \tilde{x}} = \\ & = \frac{1}{Re} \frac{1}{\tilde{\rho}} \left( \frac{\partial}{\partial \tilde{x}} \left( 2\tilde{\mu} \frac{\partial \tilde{u}}{\partial \tilde{x}} \right) + \frac{\partial}{\partial \tilde{y}} \left( \tilde{\mu} \frac{\partial \tilde{u}}{\partial \tilde{y}} + \tilde{\mu} \frac{\partial \tilde{v}}{\partial \tilde{x}} \right) \right) - \frac{1}{We} \frac{\tilde{\kappa}}{\tilde{\rho}} \frac{\partial H}{\partial \tilde{x}}, \end{aligned} \quad (17)$$

$$\begin{aligned} & \frac{\partial \tilde{v}}{\partial \tilde{t}} + \tilde{u} \frac{\partial \tilde{v}}{\partial \tilde{x}} + \tilde{v} \frac{\partial \tilde{v}}{\partial \tilde{y}} + \frac{1}{\tilde{\rho}} \frac{\partial \tilde{p}}{\partial \tilde{y}} = \\ & = \frac{1}{Re} \frac{1}{\tilde{\rho}} \left( \frac{\partial}{\partial \tilde{x}} \left( \tilde{\mu} \frac{\partial \tilde{u}}{\partial \tilde{y}} + \tilde{\mu} \frac{\partial \tilde{v}}{\partial \tilde{x}} \right) + \frac{\partial}{\partial \tilde{y}} \left( 2\tilde{\mu} \frac{\partial \tilde{v}}{\partial \tilde{y}} \right) \right) - \frac{1}{We} \frac{\tilde{\kappa}}{\tilde{\rho}} \frac{\partial H}{\partial \tilde{y}} - Fr, \end{aligned} \quad (18)$$

$$\tilde{\rho}(\phi) = H(\phi) + \frac{\rho_g}{\rho_l}(1 - H(\phi)), \quad \tilde{\mu}(\phi) = H(\phi) + \frac{\mu_g}{\mu_l}(1 - H(\phi)), \quad (19)$$

$$\frac{\partial \phi}{\partial \tilde{t}} + \tilde{u} \frac{\partial \phi}{\partial \tilde{x}} + \tilde{v} \frac{\partial \phi}{\partial \tilde{y}} = 0, \quad (20)$$

$$\frac{x_1}{X_0} \leq \tilde{x} \leq 1, \quad \frac{y_1}{X_0} \leq \tilde{y} \leq \frac{y_2}{X_0}, \quad 0 \leq \tilde{t} \leq \frac{T}{T_0}.$$

Здесь используются следующие безразмерные параметры:  $X_0 = x_2$ ,  $P_0 = p_{l0}$ ,  $R_0 = \rho_l$ ,  $U_0 = \sqrt{P_0/R_0}$ ,  $T_0 = X_0/U_0$ ,  $Re = U_0 X_0 R_0 / \mu_l$ ,  $Fr = g X_0 / U_0^2$ ,  $We = R_0 X_0 U_0^2 / \sigma$ .

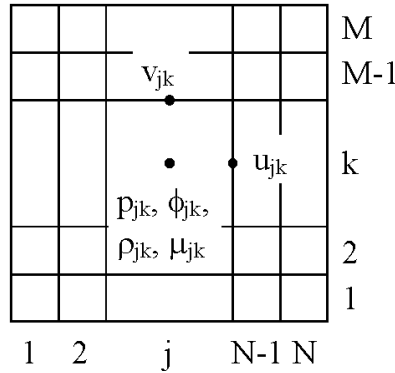


Рис. 1. Расчетная сетка для вычислительного алгоритма

Вся пространственная область разбивается на  $N \times M$  прямоугольников с равномерным шагом по оси  $Ox$  и  $Oy$ . При этом сеточные значения расчетных параметров выбираются так, как показано на Рис. 1: давление, плотность, вязкость и функция  $\phi$  будут задаваться в серединах ячеек, а горизонтальная и вертикальная компоненты скорости  $u$  и  $v$  — на серединах сторон расчетных прямоугольников (разнесенная сетка). Вычислительный алгоритм, который используется для аппроксимации уравнений (16)–(20), состоит из четырех последовательных шагов [3, 4, 7]. Для обеспечения его устойчивости применяется ограничение на временной шаг, которое складывается из условий Куранта–Фридрикса–Леви для конвекции, а также условий, связанных с влиянием вязкости, гравитационных и поверхностных сил.

## 5 Результаты численных расчетов

### 5.1 Колебания идеальной жидкости в плоском сосуде

Рассмотрим колебания идеальной ( $\mu = 0$ ) тяжелой ( $g \neq 0$ ) несжимаемой жидкости в двумерной области, вызванные начальным возмущением ее поверхности [8]. Примем, что при  $t = 0$  квадратная область  $\Omega = \{(x, y) : 0 \leq x \leq 1, 0 \leq y \leq 1\}$  наполовину заполнена жидкостью, поверхность которой возмущена по закону

$$\Gamma = \{(x, y) | 0 \leq x \leq 1, y = 0.5 + 0.05 \cos(\pi x)\}.$$

Остальное пространство занимает газ, который также считается несжимаемым, с плотностью много меньшей плотности жидкости  $\tilde{\rho}_g = 0.001 \ll \tilde{\rho}_l = 1.0$  (в данной задаче используются безразмерные параметры).

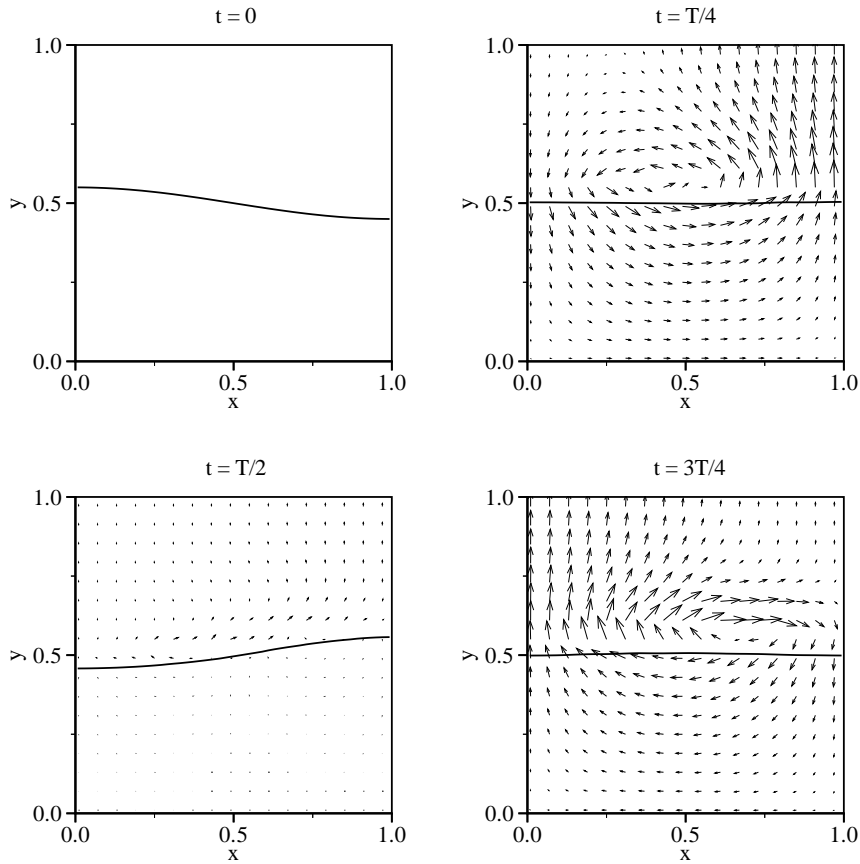


Рис. 2. Положение границы и поле скорости в различные моменты времени в задаче о колебаниях идеальной жидкости в плоском сосуде

Под действием вектора силы тяжести жидкость начинает колебаться, при этом период колебаний первой моды определяется известной формулой теории длинных волн, который в нашем случае равен:

$$T = \frac{2\pi}{\sqrt{gk \operatorname{th}(kh)}} = \frac{2\pi}{\sqrt{\pi Fr \operatorname{th}(\pi/2)}} \approx 3.7016 \frac{1}{\sqrt{Fr}},$$

где  $Fr$  — безразмерное число Фруда. В отсутствие вязкости на всех границах, кроме верхней, ставятся условия непротекания. Верхняя граница считается свободной с фиксированным значением давления  $p = 1.0$ . Положение поверхности раздела между жидкостью и газом в ходе расчета определяется нулевым уровнем сеточной функции  $\phi$ .

На Рис. 2 показаны графики численного решения задачи в различные

моменты времени в течение первого периода колебаний границы раздела. Возмущение поверхности в каждый момент времени создает характерное круговое движение в жидкости и газе. Численное решение, соответствующее Рис. 2, получено для  $Fr = 1.0$  на равномерной сетке размера  $100 \times 100$ . Для различных расчетных сеток проведено сравнение численного и аналитического решения по значениям амплитуды и частоты колебаний. Получено удовлетворительное согласование.

## 5.2 Падение водяного столба

Рассмотрим прямоугольный сосуд, разделенный вертикальной перегородкой на две области, одну из которых заполняет тяжелая ( $g \neq 0$ ) жидкость. После того, как перегородку убирают, под действием силы тяжести вода устремляется в свободную область. В результате этого начальный столб жидкости рассыпается и возникает картина с набегающей и отражающейся от стенок сосуда волной, которая с течением времени затухает под действием вязких сил. Указанная задача ранее изучалась экспериментально [9], аналитически [10] и численно [11].

Решение задачи будем искать в размерных переменных. В качестве пространственной области рассмотрим квадрат со стороной  $a = 0.584$  м. Примем, что в начальный момент времени столб жидкости имел высоту  $a/2 = 0.292$  м, ширину  $a/4 = 0.146$  м и располагался около левой границы. Физические параметры задачи определим следующим образом: плотность жидкости  $\rho_l = 1000$  кг/м<sup>3</sup>, плотность газа  $\rho_g = 1$  кг/м<sup>3</sup>, ускорение свободного падения  $g = 9.8$  м/с. Поскольку нас будет интересовать только начальная стадия развития волнового движения, то вязкостью можно пренебречь так же, как и поверхностным натяжением, эффект которого будет ничтожно мал благодаря достаточно большому масштабу задачи. На всех границах, кроме верхней, ставятся условия непротекания. Верхняя граница считается свободной с фиксированным значением давления  $p = 10^5$  Па.

На Рис. 3 представлена картина решения задачи в интервале времени  $\Delta t = 0.1$  с вплоть до момента, когда начинается отражение волны от правой границы. Решение построено на равномерной сетке  $80 \times 80$ . Проведено сравнение численных и экспериментальных результатов по изменению положения границы раздела у левой стенки сосуда и скорости распространения переднего фронта волны. Получено удовлетворительное согласование (см. Рис. 4).



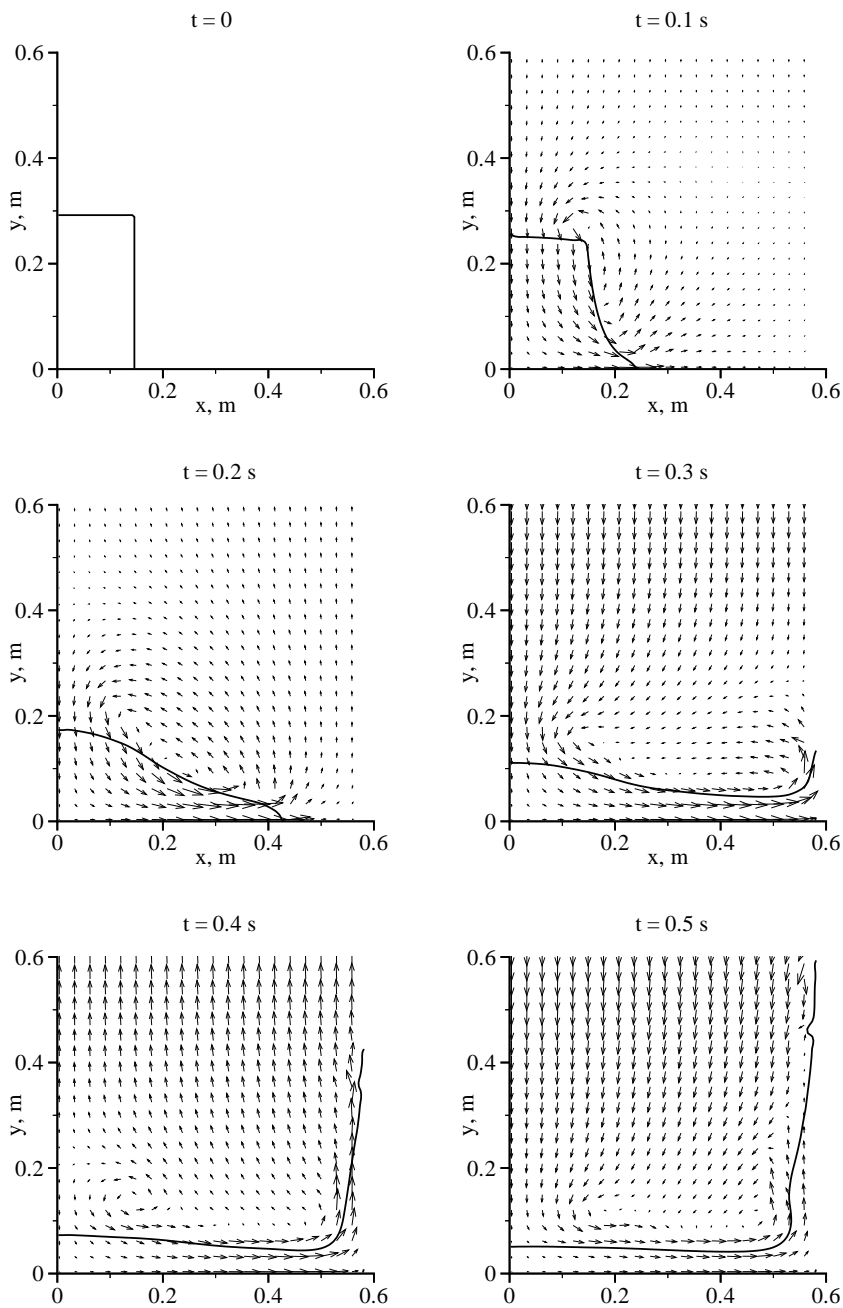


Рис. 3. Эволюция границы раздела и поле скорости в задаче о падении водяного столба

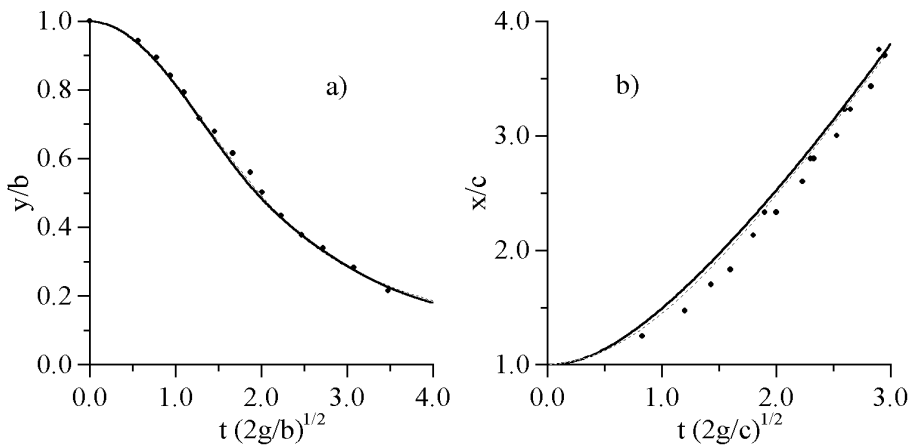


Рис. 4. Сравнение с экспериментальными данными: а) изменение положения границы раздела у левой стенки сосуда, б) распространение переднего фронта волны вдоль нижней границы. Здесь  $b = a/2$  и  $c = a/4$  — начальные высота и ширина водяного столба;  $y$  и  $x$  — текущие значения уровня воды около левой стенки и ее переднего фронта;  $g$  — ускорение свободного падения;  $t$  — текущее время. Точки — экспериментальные данные (Martin, Моусе, 1952), пунктирная линия — сетка  $40 \times 40$ , сплошная линия — сетка  $80 \times 80$

### 5.3 Всплывающий пузырек

Результирующее действие эффектов вязкости, поверхностного натяжения и гравитации рассмотрим на примере задачи о всплытии газового пузырька в безграничном объеме несжимаемой жидкости [6, 12].

Предположим, что в начальный момент времени прямоугольная расчетная область  $\Omega = \{(x, y) : 0 \leq x \leq 10 \text{ см}, 0 \leq y \leq 15 \text{ см}\}$  заполнена жидкостью с плотностью  $\rho_l = 1000 \text{ кг/м}^3$  и вязкостью  $\mu_l = 10^{-3} \text{ Па}\cdot\text{с}$ , внутри которой находится сферический пузырек радиуса  $a_0 = 1 \text{ см}$  с центром в точке  $O$  (5 см, 5 см). Плотность газа в пузырьке принимается равной  $\rho_g = 1.2 \text{ кг/м}^3$ , вязкость —  $\mu_g = 10^{-5} \text{ Па}\cdot\text{с}$ , коэффициент поверхностного натяжения на границе раздела между газом и жидкостью —  $\sigma = 0.07 \text{ Н/м}$ , ускорение свободного падения  $g = 10 \text{ м/с}^2$ . На всех четырех границах задаются условия прилипания. Отметим здесь, что малый по сравнению с расчетной областью размер пузырька обеспечивает минимальное влияние граничных условий, но снижает эффективность вычисления динамики самого пузырька из-за необходимости брать большое количество сеточных узлов.

Под действием выталкивающей силы Архимеда пузырек начинает вертикальное всплытие, в течение которого из-за вязких и поверхностных эф-

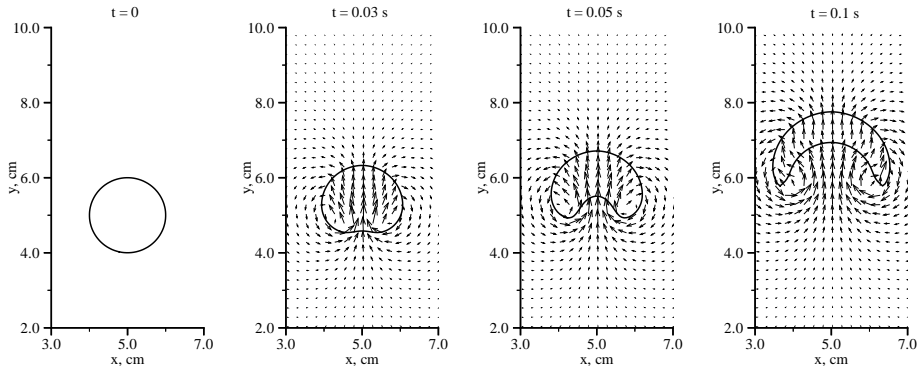


Рис. 5. Эволюция формы пузырька при всплытии в объеме несжимаемой жидкости

фектов меняет свою форму. На Рис. 5 представлены графики положения пузырька и поле скорости для четырех последовательных моментов времени:  $t_1 = 0$ ,  $t_2 = 0.03$  с,  $t_3 = 0.05$  с и  $t_4 = 0.1$  с, полученные на равномерной сетке размера  $160 \times 240$  ячеек.

Для проверки сходимости численного алгоритма решение задачи сравнивалось для четырех расчетных сеток:  $20 \times 30$ ,  $40 \times 60$ ,  $80 \times 120$  и  $160 \times 240$ . Оценивались погрешность в вычислении объема пузырька к моменту времени  $t_4 = 0.1$  с и значения скорости всплытия, которая в данной задаче является постоянной величиной.

#### 5.4 Падающая капля

Рассмотрим применение идеологии Level Set Method в случае изменения топологии на примере задачи о падении капли на поверхность жидкости. Предположим, что в начальный момент времени прямоугольная расчетная область  $\Omega = \{(x, y) : 0 \leq x \leq 10 \text{ см}, 0 \leq y \leq 15 \text{ см}\}$  при  $y < 5$  см заполнена жидкостью ( $\rho_l = 1000 \text{ кг/м}^3$ ,  $\mu_l = 10^{-3} \text{ Па}\cdot\text{с}$ ), а при  $y > 5$  см — газом ( $\rho_g = 1.2 \text{ кг/м}^3$ ,  $\mu_g = 10^{-5} \text{ Па}\cdot\text{с}$ ). Сферическая капля жидкости с центром при  $t = 0$  в точке с координатами (5 см, 10 см) и радиусом 1 см начинает падать под действием силы тяжести ( $g = 10 \text{ м/с}^2$ ). Так же, как и в предыдущей задаче, будем учитывать одновременное действие вязкости, гравитации и поверхностного натяжения ( $\sigma = 0.07 \text{ Н/м}$ ). На всех границах, кроме верхней, ставятся условия прилипания для скорости. Верхняя граница считается свободной с фиксированным значением давления  $p = 10^5 \text{ Па}$ .

Решение задачи разбивается на две стадии: движение капли в газе до ее соприкосновения с жидкостью и волновые процессы на поверхности жид-

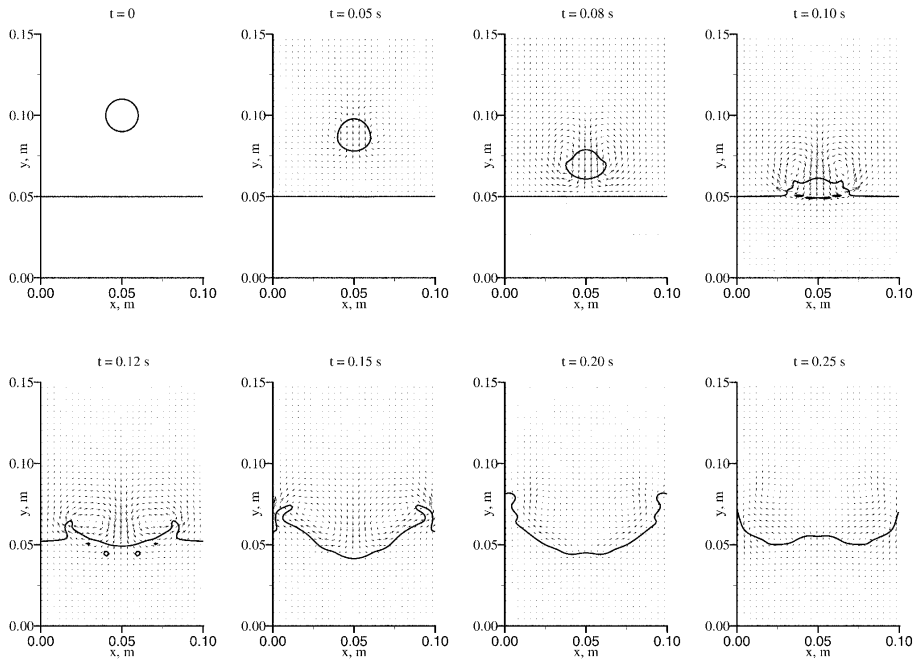


Рис. 6. Падение капли на поверхность жидкости

кости, вызванные падением капли. На Рис. 6 представлены графики положения пузырька и поле скорости для восьми последовательных моментов времени:  $t_1 = 0$ ,  $t_2 = 0.05$  с,  $t_3 = 0.08$  с,  $t_4 = 0.10$  с,  $t_5 = 0.12$  с,  $t_6 = 0.15$  с,  $t_7 = 0.20$  с и  $t_8 = 0.25$  с, полученные на равномерной сетке размера  $80 \times 120$  ячеек. Как следует из графиков, после своего падения капля инициирует расходящуюся волну в жидкости, которая достигает стенки расчетной области (этот момент примерно соответствует времени  $t_6 = 0.15$  с) и отражается в обратную сторону. В последующие моменты времени наблюдается взаимодействие поверхностных волн, интенсивность которых за счет вязких и капиллярных сил довольно скоро становится незначительной.

## 6 Заключение

С помощью разработанного вычислительного кода были численно исследованы: задача о колебаниях идеальной жидкости в плоском сосуде под действием силы тяжести; задача о падающем столбе тяжелой жидкости; задача о всплытии пузырька, заполненного несжимаемым газом, в объеме вязкой жидкости и задача о падающей на плоскую поверхность жидко-

сти капли. В результате численных расчетов получены решения, которые обнаруживают удовлетворительное согласование с существующими аналитическими и экспериментальными решениями.

## Список литературы

- [1] Osher S., Sethian J. A. Front propagating with curvature-dependent speed: Algorithms based on Hamilton–Jacoby formulations // *J. Comp. Physics*. 1988. V. 28. P. 12–49.
- [2] Sethian S. J. *Level Set Methods and Fast Marching Methods: Evolving interfaces in computational geometry, fluid mechanics, computer vision, and material science*. UKM: Cambridge Univ. Press, 1999.
- [3] Harlow F., Welch J. Numerical calculation of time-dependent viscous incompressible flow of fluid with free surface // *Phys. Fluids*. 1965. V. 8. P. 2182–2189.
- [4] Griebel M., Dornseifer T., Neunhoeffler T. *Numerical simulation in fluid dynamics*. Philadelphia, USA: SIAM, 1998.
- [5] Sussman M., Fatemi E., Smereka P., Osher S. An improved Level Set Method for incompressible two-phase flows // *Computers and Fluids*. 1998. V. 27, №. 5–6. P. 663–680.
- [6] Sussman M., Almgren A. S. An adaptive Level Set approach for incompressible two-phase flows // *J. Comp. Physics*. 1999. V. 148. P. 81–124.
- [7] Флетчер К. *Вычислительные методы в динамике жидкостей*. М.: Мир, 1991.
- [8] Raad P. E., Chen S., Johnson D. B. The introduction of micro cells to treat pressure in free surface fluid flow problems // *J. Fluid Eng.* 1995. V. 117. P. 683–690.
- [9] Martin J. C., Moyce W. J. An experimental study of the collapse of liquid columns on a rigid horizontal plane // *Phil. Trans. R. Soc. Lond. A*. 1952. V. 244. P. 312–324.
- [10] Stoker J. J. *Water waves*. N.Y.: John Wiley & Sons, 1958.
- [11] Hirt C. W., Nichols B. D. Volume of Fluid (VOF) Method for dynamics of free boundaries // *J. Comp. Physics*. 1981. V. 39, P. 201–225.
- [12] Kang M., Fedkiw R. P., Liu X.-D. A boundary condition capturing method for multiphase incompressible flow // *J. Sci. Comp.* 2000. V. 15, No. 3, P. 323–360.